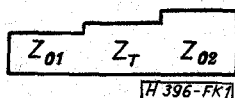


## Rövidlépcsős transzformátorok komplex tervezése

ETO 821.372.852.6

A lépcsős impedanciáttranszformátorok különböző hullámellenállású tápvonalak között biztosítanak illesztést adott frekvenciatartományban.

A legegyszerűbb impedanciáttranszformátor egyetlen  $\lambda/4$ -es tápvonalszakasz (1. ábra).

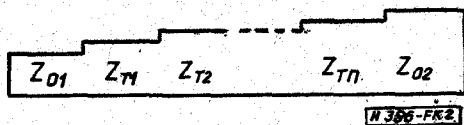


1. ábra

$Z_{01}$  és  $Z_{02}$  az illesztendő hullámellenállások

$Z_T$  a transzformáló szakasz hullámellenállása.

Ha ez az illesztőelem nem felel meg, akkor több  $\lambda/4$ -es szakaszból álló transzformátort használnak. A hullámellenállások megfelelő megválasztásával max. lapos, vagy Csebisev átviteli karakterisztika alakítható ki (2. ábra).



2. ábra

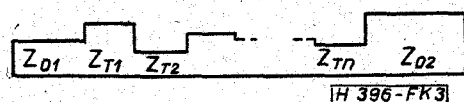
Az ilyen típusú transzformátoroknál monoton jelleggel változnak a hullámellenállások. A  $\lambda/4$ -es tápvonalszakaszokból felépülő transzformátor legnagyobb hátránya, hogy még kisszámú tápvonalszakasz esetén is nagy méretek adódnak.

A rövidlépcsős transzformátorok  $\lambda/16$ -os, illetve  $\lambda/32$  hosszúságú tápvonalszakaszokból épülnek fel, s így módon lényegesen kisebb méretek adódnak, mint  $\lambda/4$ -es transzformátoroknál. A kis méretek jelentős hely- és anyagmegtakarítást tesznek lehetővé.

A kis méretek nagy előnnyel járnak gyárthatósági és stabilitási szempontból is. Nem kell hosszú csöveket megmunkálni, s a belső ér is egy darabból készülhet, hiszen egy III. sávós kétlépcsős illesztőnél a transzformáló szakaszok hossza kb. 92 mm.

Különösen előnyös az alkalmazásuk az URH sávban.

A rövidlépcsős transzformátornál felváltva követik egymást kis és nagy hullámellenállású rövid tápvonalszakaszok (3. ábra).



3. ábra

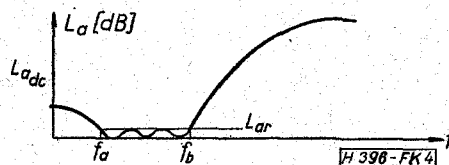
Sokoldalú felhasználást biztosít az a tény, hogy csillapításkarakterisztikájuk periodikus, felváltva követik egymást kis és nagy csillapítású frekvenciatartományok. Sáváteresztő és sávzáró szűrőként egyaránt alkalmazható. Sávzáró szűrőként alkalmazva különösen kedvező futási idő érhető el.

### Rövidlépcsős Csebisev-transzformátor szintézise

Az impedanciáttranszformátor tulajdonképpen egy sáváteresztő szűrő, amely adott frekvenciatartományban előírt áteresztősávi csillapítással rendelkezik (4. ábra).

Az áteresztősáv  $f_a$ -tól  $f_b$ -ig terjed.

Elektromos szögben  $\Theta_a$ -tól  $\Theta_b$ -ig.



4. ábra

Az áteresztősáv közepes frekvenciája

$$f_m = \frac{f_a + f_b}{2} \quad (1)$$

Elektromos hossz sávközépen

$$\Theta_m = \frac{\Theta_a + \Theta_b}{2} = \frac{2\pi l}{\lambda_m} \quad (2)$$

Relatív sáv szélesség

$$w = \frac{f_b - f_a}{f_m} = 2 \frac{f_b - f_a}{f_b + f_a} \quad (3)$$

A sávhatárok elektromos szögben

$$\Theta_b = \Theta_m \left(1 + \frac{w}{2}\right) \quad (4)$$

$$\Theta_a = \Theta_m \left(1 - \frac{w}{2}\right) \quad (5)$$

Áteresztősávi csillapítás

$$L_{ar} = 10 \lg \frac{1}{1 - |\Gamma_{max}|^2} \text{ [dB]} \quad (6)$$

$\Gamma_{max}$ : a sávban megengedett maximális reflexió.

Rövidlépcsős transzformátornál a sávzáró elemeket különböző hullámellenállású rövid tápvonalszakaszokkal valósítjuk meg.

Beérkezett: 1975. VI. 10.

A lépcsők hullámmellenállásait adott áteresztősávi csillapítás, relatív sávzélesség, impedanciaáttétel értékekhez a Matthei-féle táblázatok adják.

Probléma akkor merül fel, ha olyan impedanciaáttételhez kell transzformátort tervezni, amely nincs a táblázatokban feltüntetve. Pl.  $R < 1,5$  ( $R$ : az illesztendő hullámmellenállások aránya,  $R > 1$ ) azaz kis impedanciaáttételek esetén a táblázatok nem lehet felhasználni.

Az igen nagy hely és anyagmegtakarítást eredményező  $\lambda/32$ -es lépcsőkből álló transzformátorra pedig egyáltalán nincsenek táblázatok megadva.

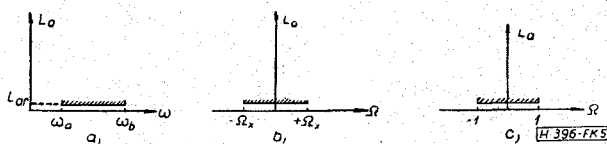
Kis áttételek esetén az  $n=2$  lépcsőből álló impedanciáttranszformátor már nagyon jó megoldást jelent és igen kis méreteket tesz lehetővé.

A tervezéshez a táblázatok kiszámításának alapjául szolgáló elmélethez kell visszanyúlni.

Először is a sávszűrő követelményeket aluláteresztőbe kell transzformálni (5. a, b, c ábrák).  $\Omega_x := \Omega_e$  választással

$$\Omega' = \frac{\Omega}{\Omega_x} = \frac{\Omega}{\Omega_e} \quad (7)$$

$\Omega_x$  levágási frekvencia



5. ábra

A frekvenciatranszformációt

$$\Omega = \Omega_x A \frac{\omega^2 - \omega_0^2}{\omega^2 + 1} \quad \text{adja [1] alapján} \quad (8)$$

Innen

$$\Omega' = \frac{\Omega}{\Omega_x} = A \frac{\omega^2 - \omega_0^2}{\omega^2 + 1} \quad (9)$$

A Richards- transzformációból

$$\omega = \text{tg } \theta \quad (10)$$

A reaktanciáttranszformáció:

$$P = j\Omega = j\Omega_x A \frac{p^2 + \omega_0^2}{p^2 - 1} \quad (11)$$

illetve

$$P' = j\Omega' = jA \frac{p^2 + \omega_0^2}{p^2 - 1} \quad (12)$$

A transzformációs képletekben két paraméter szerepel  $A$  és  $\omega_0$

A paraméterek meghatározása:

$$\theta = \theta_b \quad \text{esetén} \quad \Omega = \Omega_x; \quad \Omega' = 1$$

innen

$$A = \frac{\text{tg}^2 \theta_b + 1}{\text{tg}^2 \theta_a - \text{tg}^2 \theta_b} \quad (13)$$

hasonlóan  $\theta = \theta_a$  esetén.  $\Omega = -\Omega_x$  ebből meghatározható  $\omega_0$ .

$$\omega_0 = \sqrt{\frac{\text{tg}^2 \theta_b (1 + \text{tg}^2 \theta_a) + \text{tg}^2 \theta_a (1 + \text{tg}^2 \theta_b)}{2 + \text{tg}^2 \theta_a + \text{tg}^2 \theta_b}} \quad (14)$$

Az aluláteresztő transzfer-csillapítás függvénye:

$$|K_a(j\Omega')|^2 = \frac{P_0}{P_2} = 1 + \varepsilon \text{ch}^2(q \text{ar ch } \Omega') \quad (15)$$

$$q = \frac{n}{2} \quad n: \text{ a fokozatok száma.}$$

Ha  $n=2$ , akkor

$$|K_a(j\Omega')|^2 = \frac{P_0}{P_2} = 1 + \varepsilon \Omega'^2 \quad (16)$$

ugyanakkor

$$\frac{P_0}{P_2} = \frac{1}{1 - |\Gamma_a(j\Omega')|^2} \quad (17)$$

$$|\Gamma_a(j\Omega')|^2 = \frac{\varepsilon \Omega'^2}{1 + \varepsilon \Omega'^2}, \quad (18)$$

$$j\Omega' = P' \quad \Omega'^2 = -P'^2, \quad (19)$$

$$|\Gamma_a(j\Omega')|^2 \Big|_{\Omega'^2 = -P'^2} = \Gamma_a(P') \Gamma_a(-P') \quad (20)$$

$$\Gamma_a(P') \Gamma_a(-P') = \frac{-\varepsilon P'^2}{1 - \varepsilon P'^2} \quad (21)$$

A komplex feszültségi reflexiótényező:

$$\Gamma_a(P') = \frac{\sqrt{\varepsilon} P'}{1 + \sqrt{\varepsilon} P'} = \frac{P'}{P' - \left(-\frac{1}{\sqrt{\varepsilon}}\right)}, \quad (22)$$

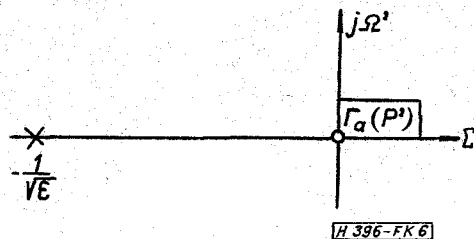
Ha  $P' \rightarrow \infty$ , akkor  $\Gamma_a(P') \rightarrow 1$ .

A végtelenben csillapítás-pólus van aluláteresztő szűrőnél.

Általános alakban a reflexió-tényező:

$$\Gamma_a(P') = k_a \frac{(P' - P'_{a1})(P' - P'_{a2}) \dots (P' - P'_{an})}{(P' - P'_{b1})(P' - P'_{b2}) \dots (P' - P'_{bn})} \quad (23)$$

jelen esetben (1. 6. ábra)



6. ábra

$$P'_{a1} = 0, \quad P'_{b1} = -\frac{1}{\sqrt{\varepsilon}}, \quad k_a = 1$$

A sávszűrő transzfer-csillapítás függvénye:

$$|K_s(j\omega_s)|^2 = \frac{P_0}{P_2} = 1 + \varepsilon \left[ A \frac{\omega^2 - \omega_0^2}{\omega^2 + 1} \right]^2 \quad (24)$$

Az áteresztősávi csillapítás ingadozás a 0-frekvenciás ahol viselkedés alapján határozható meg.

$$\frac{P_0}{P_2} \Big|_{\omega=0} = 1 + \varepsilon [A(-\omega_0^2)]^2 \quad (25)$$

Ugyanakkor

$$\frac{P_0}{P_2} \Big|_{\omega=0} = \frac{(R+1)^2}{4R} \quad R: \text{impedanciaáttétel} \quad (26)$$

A két kifejezést összehasonlítva

$$\varepsilon = \frac{(R-1)^2}{4R[A(-\omega_0^2)]^2} \quad (27)$$

Az impedanciaáttétel és a transzformációs paraméterek egyértelműen meghatározzák az áteresztősávi csillapítást:

$$L_{ur} = 10 \lg(1 + \varepsilon) \quad [\text{dB}] \quad (28)$$

A sávszűrő feszültségi reflexiótényezője általános alakban:

$$\Gamma_s(p) = k_s \frac{(p - j\omega_a)(p + j\omega_a)(p - j\omega_b)(p + j\omega_b) \dots}{(p - p_{b1})(p - p_{b2})(p - p_{b3})(p - p_{b4}) \dots} \quad (29)$$

ahol

$$k_s = |\Gamma_s(p)|_{p \rightarrow j\infty} = \sqrt{\frac{s \operatorname{ch}^2(n/2 \operatorname{arch} A)}{1 + \varepsilon \operatorname{ch}^2(n/2 \operatorname{arch} A)}} \quad (30)$$

$$k_s = \sqrt{\frac{\varepsilon A^2}{1 + \varepsilon A^2}} \quad (31)$$

A szintézis során előbb az aluláteresztő szűrő feszültségi reflexiótényezőjének pólus-zérus képét kell meghatározni, majd a reaktanciatranszformáció képletének felhasználásával transzformálni kell a gyököket.

$$P' = jA \frac{p^2 + \omega_0^2}{p^2 - 1} \rightarrow p = \pm \sqrt{\frac{j\omega_0^2 A + P'}{-jA + P'}} \quad (32)$$

Csak azokat a pólus- és zérushelyeket kell leképezni, amelyek a bal oldali félsíkra, vagy a képzetes tengelyre esnek.

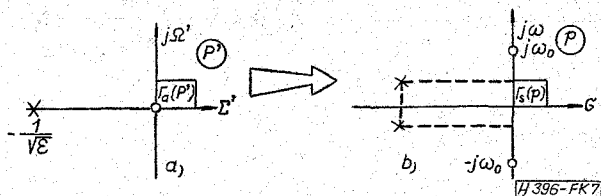
Az aluláteresztő szűrő pólusainak és zérusainak a számát a leképezés megkétszerezi (7. a, b ábrák).

Az aluláteresztő origóban levő zérusából a leképezés során a képzetes tengelyen fekvő konjugált komplex zéruspár lesz.

$$P'_{a1} = 0 \Rightarrow p_{a1}; \bar{p}_{a1} = \pm j\omega_0 \quad (33)$$

Az aluláteresztő szűrő valós tengelyen levő pólusa konjugált komplex póluspárrá transzformálódik sávszűrőnél.

$$P'_{b1} = -\frac{1}{\sqrt{\varepsilon}} \Rightarrow \frac{p_{b1}}{p_{b1}} = \varrho(\cos \varphi + j \sin \varphi) \quad (34)$$



7. ábra

$$\varrho = \sqrt[4]{\frac{1 + \varepsilon A^2 \omega_0^4}{1 + \varepsilon A^2}} \quad (35)$$

$$\varphi = \pi + \frac{1}{2} [\arctg(-\sqrt{\varepsilon} A \omega_0^2) - \arctg \sqrt{\varepsilon} A] \quad (36)$$

$$\varphi = \pi + \frac{1}{2} \left[ \arccos K_s(\Theta=0) - \arccos K_s \left( \Theta = \frac{\pi}{2} \right) \right] \quad (37)$$

$K_s(\Theta)$  üzemi átviteli tényező,  $\arccos K_s(\Theta)$  az átviteli tényező fázisa (a fázisviszonyokról később részletes ismertetés következik).  $n=2$ :

A sávszűrő komplex feszültségi reflexiótényezője polinomos alakban

$$\Gamma_s(p) = \frac{a_2 p^2 + a_0}{b_2 p^2 + b_1 p + b_0} = \frac{N(p)}{U(p)} \quad \text{alakú lesz} \quad (38)$$

$\Gamma_s(p)$ -ből meghatározható  $Z_s(p)$ :

$$Z_s(p) = \frac{U(p) + N(p)}{U(p) - N(p)} = \frac{(a_2 + b_2)p^2 + b_1 p + a_0 + b_0}{(b_2 - a_2)p^2 + b_1 p + b_0 - a_0} \quad (39)$$

A lépcsők hullámmellenállását egységelem kiemeléssel lehet meghatározni [2] alapján.

Az induktív lépcső hullámmellenállását

$$Z_{UE1} = [Z_s(p)]_{p=1} = Z'_{T1} \quad \text{adja.} \quad (40)$$

Az egységelem kiemelése után:

$$Z_1(p) = Z_{UE} \frac{p Z_{UE} - Z_s(p)}{p \cdot Z_s(p) - Z_{UE}} \quad \text{marad.} \quad (41)$$

A kapacitív lépcső hullámmellenállása:

$$Z_{UE2} = [Z_1(p)]_{p=1} = Z'_{T2} \quad (42)$$

Ellenőrzés:

$$Z_{Tj} \Big|_{j=\frac{n}{2}+1} = \frac{R}{Z_{Tn+1-j}} \quad \text{alapján} \quad (43)$$

$n=2$ :

$$Z'_{T2} = \frac{R}{Z'_{T1}} \quad (44)$$

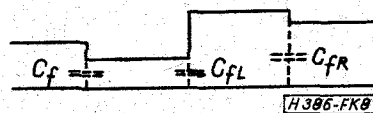
Kompenzálás

Rövidlépcsős transzformátoroknál a nagy átmérőugrások miatt fokozott figyelmet kell fordítani az ugrásoknál jelentkező reaktanciák kompenzálására (8. ábra).

A kapacitív szakasz hosszát csökkenteni kell  $\Delta l$ -lel:

$$\Delta l \cong (C_{fL} + C_{fR}) Z_{T2} v \quad (45)$$

$v$ : hullámterjedési sebesség.



8. ábra

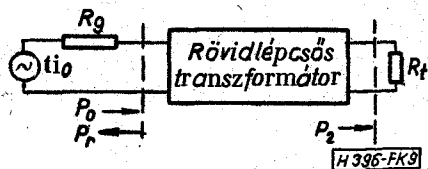
Az induktív szakasz hosszát meg kell növelni  $d_1$  hosszúsággal.

$$d_1 = \frac{vZ_0^2 C_t}{Z_{T1}} \quad (46)$$

Az eddig leírt szintézis általánosítható, s alkalmas számítógépes programozásra nagy lépcsős számok esetén.

**Rövidlépcsős transzformátor analízise**

Üzemi átviteli tényező meghatározása (9. ábra)



9. ábra

Az üzemi átviteli tényező:

$$K = \sqrt{\frac{P_0}{P_2}} \quad \text{innen} \quad |K|^2 = \frac{P_0}{P_2} \quad (48)$$

Az üzemi átviteli tényező aluláteresztő szűrőnél:

$$\frac{P_0}{P_2} = 1 + \varepsilon \Omega'^2 = K_a(j\Omega') K_a(-j\Omega') \quad (49)$$

innen

$$K_a(j\Omega') = i + \sqrt{\varepsilon} j\Omega'$$

illetve

$$K_a(-j\Omega') = i - \sqrt{\varepsilon} j\Omega' \quad (50)$$

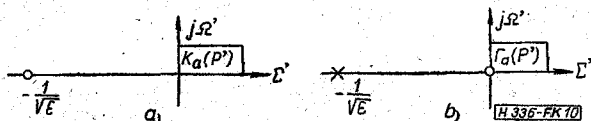
$j\Omega' = P'$  helyettesítéssel:

$$K_a(P') = 1 + \sqrt{\varepsilon} P' = \sqrt{\varepsilon} \left( P' + \frac{1}{\sqrt{\varepsilon}} \right) \quad (51)$$

Ugyanakkor:

$$\Gamma_a(P') = \frac{\sqrt{\varepsilon} P'}{1 + \sqrt{\varepsilon} P'} = \frac{P'}{P' + \frac{1}{\sqrt{\varepsilon}}}$$

$\Gamma_a(P')$  pólushelye egybeesik  $K_a(P')$  zérushelyével (10. a, b. ábra).



10. ábra

**Sávszűrő üzemi átviteli tényezője**

$$K_s(p) = K_a(P'(p)) \quad P'(p) = jA \frac{p^2 + \omega_0^2}{p^2 - 1}$$

$$K_s(p) = i + \sqrt{\varepsilon} jA \frac{p^2 + \omega_0^2}{p^2 - 1} \quad (52)$$

Átalakítás után:

$$K_s(p) = (1 + \sqrt{\varepsilon} jA) \frac{p^2 + \sqrt{\varepsilon} jA \omega_0^2 - 1}{p^2 - 1} \quad (53)$$

Bevezetve a következő jelöléseket:

$$\bar{\alpha} = \frac{\sqrt{\varepsilon} jA \omega_0^2 - 1}{1 + \sqrt{\varepsilon} jA} \quad (54)$$

$$C = 1 + \sqrt{\varepsilon} jA \quad (55)$$

kapjuk

$$K_s(p) = C \frac{p^2 + \bar{\alpha}}{p^2 - 1} \quad (56)$$

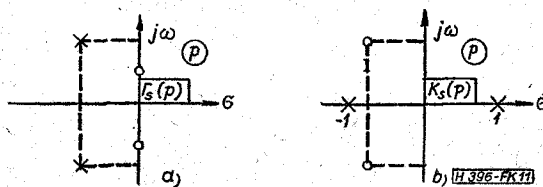
Itt is látható, hogy az üzemi átviteli tényező zérusai megegyeznek a reflexiótényező függvény pólusaival.

Bizonyítás:  
 $\Gamma_s(p)$  pólusait:

$$p_{0,1,2} = \pm \sqrt{\frac{j\omega_0^2 A - \frac{1}{\sqrt{\varepsilon}}}{-jA - \frac{1}{\sqrt{\varepsilon}}}} = \pm \sqrt{\frac{-j\sqrt{\varepsilon} jA \omega_0^2 - 1}{1 + \sqrt{\varepsilon} jA}} = \pm \sqrt{-\bar{\alpha}} \quad (57)$$

adja, amely egyszersmind  $K_s(p)$  zérusait is meghatározza.

Pólus-zérus képen ábrázolva: (11. a, b ábrák)



11. ábra

Az átviteli tényező frekvenciafüggésének meghatározása

Richards-transzformáció:

$$p = \text{th} \frac{l}{v} s \quad (58)$$

$s$  komplex frekvencia

Az átviteli tényező a komplex frekvenciaváltozó függvényében:

$$K_s(s) = C \frac{\text{th}^2 \frac{l}{v} s + \bar{\alpha}}{\text{th}^2 \frac{l}{v} s - 1} \quad (59)$$

A képzetes tengely mentén vizsgálva az átviteli tényezőt,

$$s = j\omega_s \quad p = \text{th} \frac{l}{v} j\omega_s = j \text{tg} \frac{l\omega_s}{v} = j \text{tg} \Theta \quad (60)$$

$$p^2 = \text{th}^2 \frac{l}{v} j\omega_s = -\text{tg}^2 \frac{l\omega_s}{v} = -\text{tg}^2 \Theta \quad (61)$$

$$K_s(s) \Big|_{s=j\omega_s} = K_s(j\omega_s) = C \frac{-\text{tg}^2 \frac{l}{v} \omega_s + \bar{\alpha}}{-\text{tg}^2 \frac{l}{v} \omega_s - 1} \quad (62)$$

A csillapítás függvény

$$\frac{P_0}{P_2} = |K_s(j\omega_s)|^2 \quad (63)$$

$$|K_s(j\omega_s)|^2 = |\bar{C}|^2 \frac{(\operatorname{Re} \bar{\alpha} - \operatorname{tg}^2 \frac{l}{v} \omega_s)^2 + (\operatorname{Im} \bar{\alpha})^2}{(\operatorname{tg}^2 \frac{l}{v} \omega_s + 1)^2} \quad (64)$$

A csillapítás függvény az elektromos szög függvényében:

$$|K_s(\theta)|^2 = |\bar{C}|^2 \frac{(\operatorname{Re} \bar{\alpha} - \operatorname{tg}^2 \theta)^2 + (\operatorname{Im} \bar{\alpha})^2}{(\operatorname{tg}^2 \theta + 1)^2} \quad (65)$$

A függvény 0 és  $\pi/2$  helyeken felvett, értékéből meghatározható az egyenáramú-, illetve a csúcs-csillapítás.

Egyenáramú csillapítás

$$|K_s(\theta=0)|^2 = |\bar{C}|^2 [(\operatorname{Re} \bar{\alpha})^2 + (\operatorname{Im} \bar{\alpha})^2] = |\bar{C}|^2 |\bar{\alpha}|^2 \quad (66)$$

$$|\bar{C}|^2 = 1 + \varepsilon A^2 \quad (67)$$

Ugyanakkor:

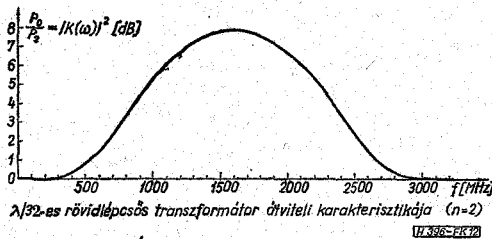
$$\left. \frac{P_0}{P_2} \right|_{\omega_s=0} = \frac{(\bar{R} + 1)^2}{4R} = |K_s(\theta=0)|^2 \quad (68)$$

Csúcs-csillapítás

$$\left| K_s \left( \theta = \frac{\pi}{2} \right) \right|^2 = |\bar{C}|^2 = 1 + \varepsilon A^2 \quad (69)$$

A csillapítás függvény tangens függvényt tartalmaz – így a csillapítás is periodikus lesz.

A csillapításkarakterisztikát a 12. ábra mutatja. A karakterisztika nagy csillapítású tartománya lehetővé teszi a rövidlépcsős transzformátor szűrőként való felhasználását.



12. ábra

Megjegyzés:

A csillapítás görbe (és a további görbék is) egy jellemző periódust ábrázolnak.

Az átviteli tényező fáziskarakterisztikája

Az átviteli tényező:

$$K_s(\theta) = 1 + j\sqrt{\varepsilon} A \frac{\operatorname{tg}^2 \theta - \omega_0^2}{\operatorname{tg}^2 \theta + 1} \quad (70)$$

Fázisa:  $\psi = \operatorname{arc} K_s(\theta) = \operatorname{arc} \operatorname{tg} \sqrt{\varepsilon} A \frac{\operatorname{tg}^2 \theta - \omega_0^2}{\operatorname{tg}^2 \theta + 1} \quad (71)$

$\theta=0$  helyen a fázis:

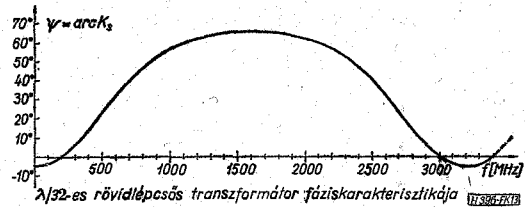
$$\operatorname{arc} K_s(\theta=0) = -\operatorname{arc} \operatorname{tg} \sqrt{\varepsilon} A \alpha_0^2 \quad (72a)$$

Maximális csillapításnál, a  $\theta = \frac{\pi}{2}$  helyen:

$$\operatorname{arc} K_s \left( \theta = \frac{\pi}{2} \right) = \operatorname{arc} \operatorname{tg} \sqrt{\varepsilon} A \quad (72b)$$

A fázis 0 értéket  $\omega_0 = \operatorname{tg} \theta_0$  helyen, a tulajdonképpeni sávközépi frekvencián vesz fel.

A fázisfüggvény is periodikus lesz az  $\operatorname{arc} \operatorname{tg}$  argumentumában levő  $\operatorname{tg}$  függvény miatt. Menete a 13. ábrán látható.



13. ábra

A futási idő meghatározása

A futási idő meghatározható, ha ismert az üzemi átviteli tényező

$$\ln K(j\omega_s) = \xi + j\psi, \quad (73)$$

$$\tau = \frac{d\psi}{d\omega_s} \quad (74)$$

[3] alapján:

$$\tau(\omega_s) = \operatorname{Re} \left\{ \frac{d}{ds} \ln K(s) \right\} \Big|_{s=j\omega_s} = \operatorname{Re} \left\{ \frac{K'(s)}{K(s)} \right\} \Big|_{s=j\omega_s} \quad (75)$$

Az üzemi átviteli tényező:

$$K_s(s) = \bar{C} \frac{\operatorname{th}^2 \frac{l}{v} s + \bar{\alpha}}{\operatorname{th}^2 \frac{l}{v} s - 1}$$

Ezt s szerint differenciálva kapjuk:

$$K'(s) = \frac{l}{v} \bar{C} (1 + \bar{\alpha}) \frac{2 \operatorname{th} \frac{l}{v} s}{\operatorname{th}^2 \frac{l}{v} s - 1} \quad (76)$$

$$\frac{K'(s)}{K(s)} = \frac{l}{v} (1 + \bar{\alpha}) \frac{2 \operatorname{th} \frac{l}{v} s}{\operatorname{th}^2 \frac{l}{v} s + \bar{\alpha}} \quad (77)$$

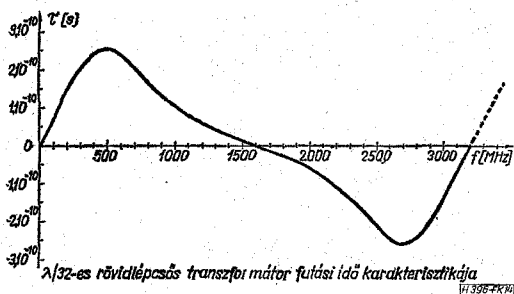
A futási idő:

$$\tau(\omega_s) = \operatorname{Re} \left\{ \frac{K'(s)}{K(s)} \right\} \Big|_{s=j\omega_s} = \operatorname{Re} \left\{ \frac{l}{v} (1 + \bar{\alpha}) \frac{2j \operatorname{tg} \frac{l}{v} \omega_s}{\bar{\alpha} - \operatorname{tg}^2 \frac{l}{v} \omega_s} \right\} \quad (78)$$

Az elektromos szög függvényében:

$$\tau(\theta) = \operatorname{Re} \left\{ \frac{l}{v} 2j (1 + \bar{\alpha}) \frac{\operatorname{tg} \theta}{\bar{\alpha} - \operatorname{tg}^2 \theta} \right\} \quad (79)$$

A futási idő függvény szintén periodikus, a csillapítás és fázis függvényekhez hasonlóan (14. ábra).



14. ábra

A futási idő zérushelyei:

$$\Theta = n \frac{\pi}{2} \quad (80)$$

helyeken vannak. ( $n=0, 1, 2, \dots$ )

A mellékelt futási idő karakterisztikából látható, hogy a futási idő kis értékeket abban a frekvenciatartományban vesz fel, ahol a csillapítás görbe nagy csillapítású tartománya van (zérus értéke a csúcs-csillapításnak megfelelő frekvenciánál van).

A TV III. sávban a futási idő karakterisztika közel lineárisan változik.

**Méretezési példa**

Kétlépcsős λ/32-es transzformátor tervezése a TV III. sávban  $f_a=170$  MHz,  $f_b=230$  MHz frekvenciatartományban  $Z_{01}=50 \Omega$  és  $Z_{02}=60 \Omega$  hullámellenállások közötti illesztésre.

Az impedanciaáttétel:

$$R = \frac{Z_{02}}{Z_{01}} = \frac{60 \Omega}{50 \Omega} = 1,2$$

Az áteresztősáv közepes frekvenciája:

$$f_m = \frac{f_a + f_b}{2} = \frac{170 + 230}{2} \text{ MHz} = 200 \text{ MHz}$$

Az áteresztősáv közepes hullámhossza:

$$\lambda_m = \frac{c}{f_m} = \frac{3 \cdot 10^{10} \text{ cm/s}}{2 \cdot 10^8 \text{ Hz}} = 150 \text{ cm}$$

Elektromos hossz sávközépen:

$$\Theta_m = \frac{2\pi l}{\lambda_m} = \frac{\pi}{16} = 0,196; \quad l = \frac{\lambda_m}{32} = 46,88 \text{ mm}$$

Relatív sávzélesség:

$$w = \frac{f_b - f_a}{f_m} = \frac{230 - 170}{200} = 0,3$$

Sávhatárok elektromos hosszban:

$$\Theta_b = \Theta_m \left(1 + \frac{w}{2}\right) = 0,196 \cdot 1,15 = 0,226$$

$$\Theta_a = \Theta_m \left(1 - \frac{w}{2}\right) = 0,196 \cdot 0,85 = 0,167$$

Az  $\omega_0$  paraméter:

$$\omega_0 = \sqrt{\frac{\text{tg}^2 \Theta_b (1 + \text{tg}^2 \Theta_a) + \text{tg}^2 \Theta_a (1 + \text{tg}^2 \Theta_b)}{2 + \text{tg}^2 \Theta_a + \text{tg}^2 \Theta_b}} = \text{tg} \Theta_0 = 0,2$$

Az A paraméter:

$$A = \frac{1 + \text{tg}^2 \Theta_b}{\text{tg}^2 \Theta_b - \text{tg}^2 \Theta_a} = 84,23$$

Az áteresztősávi csillapítás ingadozás:

$$\varepsilon = \frac{(R-1)^2}{4R[A(-\omega_0^2)]^2} = 7,2 \cdot 10^{-4}$$

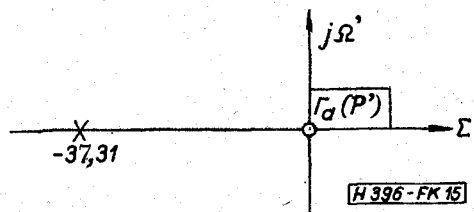
$$\sqrt{\varepsilon} = 0,0268 \cong |\Gamma_{\max}|; \quad r_{\max} \cong 1 + 2|\Gamma_{\max}| = 1,0536$$

A komplex feszültségi reflexiótényező:

$$\Gamma_a(P') = \frac{P'}{P' + \left| \frac{1}{\sqrt{\varepsilon}} \right|} = \frac{P'}{P' + 37,31}$$

Pólus-zérus kép (15. ábra)

$$P'_{a1} = 0 \\ P'_{b1} = -37,31$$

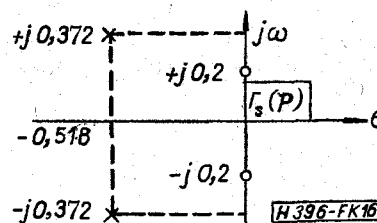


15. ábra

A transzformált gyökök:

$$P'_{a1} = 0 \rightarrow p_{a1}; \bar{p}_{a1} = \pm j\omega_0 = \pm j0,2 \\ P'_{b1} = -37,31 \rightarrow p_{b1}; \bar{p}_{b1} = -0,518 \pm j0,372$$

Pólus-zérus képen ábrázolva (16. ábra)



16. ábra

$k_s$  paraméter:

$$k_s = \sqrt{\frac{\varepsilon A^2}{1 + \varepsilon A^2}} = 0,914$$

A komplex feszültségi reflexiótényező:

$$\Gamma_s(p) = \frac{0,914p^2 + 0,037}{p^2 + 1,037p + 0,407} = \frac{N(p)}{U(p)}$$

A komplex impedancia:

$$Z_s(p) = \frac{U(p) + N(p)}{U(p) - N(p)} = \frac{1,914p^2 + 1,037p + 0,444}{0,086p^2 + 1,037p + 0,37}$$

Az induktív lépcső hullámenállása egységelem kiemeléssel:

$$Z_{UE1} = [Z_s(p)]_{p=1} = 2,275 = Z'_{T1}$$

A kapacitív lépcső hullámenállása:

$$Z_{UE2} = [Z_1(p)]_{p=1} = 0,5274 = Z'_{T2}$$

A normalizálás 50 Ω-ra történt, tehát

$$Z_{T1} = 113,75 \Omega$$

$$Z_{T2} = 26,37 \Omega$$

$D = 16$  mm-es tápvonalban:

$$d_1 = 2,4 \text{ mm}$$

$$d_2 = 10,3 \text{ mm}$$

Kompenzálás:

A kapacitív szakasz hossza  $\Delta l$ -el csökken:

$$C_{JL} = 0,186 \text{ pF}$$

$$C_{JR} = 0,141 \text{ pF}$$

$$C_f = 0,0603 \text{ pF}$$

(az ugráskapacitások meghatározása diagramokból)

$$\Delta l \cong (C_{JL} + C_{JR}) Z_{T2} c = 2,6 \text{ mm}$$

Az ugráskapacitások következtében a kapacitív szakasz hossza több mm-el lecsökken, a kompenzálás mértéke jelentősebb, mint  $\lambda/4$ -es transzformátoroknál.

Az induktív szakasz hossza  $d_1$  hosszúsággal nő:

$$d_1 = \frac{c Z_{01}^2 C_f}{Z_{T1}} \cong 0,4 \text{ mm}$$

Analízis

1. Átviteli tényező számítása két esetre:

a,  $\theta = 0$ : Egyenáramú csillapítás:

$$|K_s(\theta = 0)|^2 = |\bar{C}|^2 |\bar{\alpha}|^2 = \frac{(R+1)^2}{4R} = 1,0083 \div 0,036 \text{ dB}$$

b,  $\theta = \frac{\pi}{2}$ : Csúcs-csillapítás:

$$\left| K_s \left( \theta = \frac{\pi}{2} \right) \right|^2 = |\bar{C}|^2 = 1 + \varepsilon A^2 = 6,1084 \div 7,86 \text{ dB}$$

2. Futási idő:

$$f_a = 174 \text{ MHz} \quad \tau_a = 1,23 \cdot 10^{-10} \text{ s}$$

$$f_b = 230 \text{ MHz} \quad \tau_b = 1,61 \cdot 10^{-10} \text{ s}$$

az egész III. sávban közel lineárisan változik.

A változás mértéke:

$$\Delta \tau = 0,38 \cdot 10^{-10} \text{ s} = 38 \text{ ps}$$

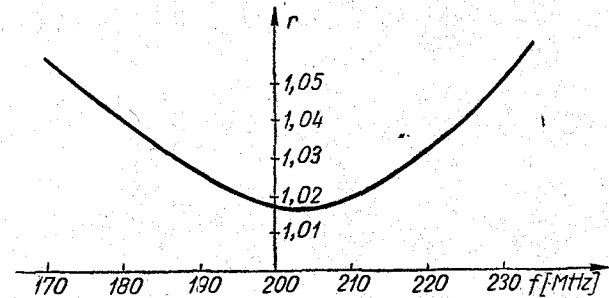
$$\Gamma(P') \Gamma(-P') = \frac{\varepsilon(2P'^2 + 1)^2}{\left( P' + \sqrt{-\frac{1}{2} + j \frac{1}{2\sqrt{\varepsilon}}} \right) \left( P' - \sqrt{-\frac{1}{2} + j \frac{1}{2\sqrt{\varepsilon}}} \right) \left( P' + \sqrt{-\frac{1}{2} - j \frac{1}{2\sqrt{\varepsilon}}} \right) \left( P' - \sqrt{-\frac{1}{2} - j \frac{1}{2\sqrt{\varepsilon}}} \right)}$$

Egy OIRT csatornán belül a futási idő változása:

$$\Delta \tau^{(1)} = \frac{\Delta \tau}{7} = 5,43 \text{ ps}$$

A futási idő változása nem jelentős érték.

A 17. ábrán feltüntettük a megadott adatokkal elkészült transzformátor állóhullámarányát a frekvencia függvényében.



$\lambda/32$ -es rövidlépcsős transzformátor mért állóhullámaránya a III. sávban [H 396-FK 17]

17. ábra

Függelék

A rövidlépcsős Csebisev transzformátor szintézise  $n \geq 4$  esetén. Az aluláteresztő transzfer csillapítás függvénye  $n=4$ -nél:

$$\frac{P_0}{P_2} = 1 + \varepsilon T_{\frac{n}{2}}^2(\Omega')$$

$$|K_a(j\Omega')|^2 = \frac{P_0}{P_2} = 1 + \varepsilon(2\Omega'^2 - 1)^2$$

A sávszűrő csillapítás függvénye:

$$|K_s(j\omega)|^2 = \frac{P_0}{P_2} = 1 + \varepsilon \left\{ 2 \left( A \frac{\omega^2 - \omega_0^2}{\omega^2 + 1} \right)^2 - 1 \right\}^2$$

Az áteresztősávi csillapítás ingadozás:

$$|K_s(j\omega = 0)|^2 = \frac{(R+1)^2}{4R}$$

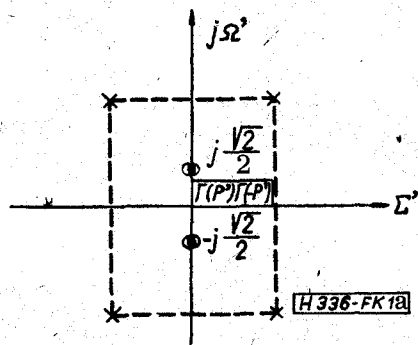
Innen:

$$\varepsilon = \frac{(R-1)^2}{4R \{ 2[A(-\omega_0^2)]^2 - 1 \}^2}$$

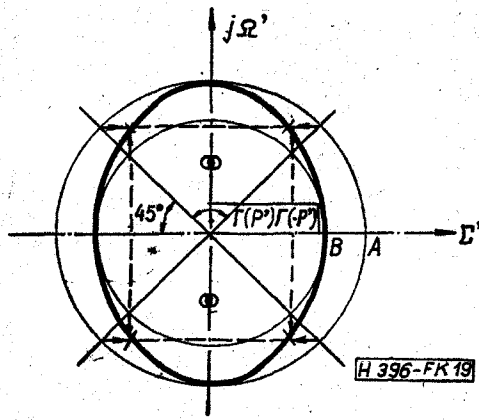
A komplex feszültségi reflexiótényező meghatározása:

$$\Gamma(j\Omega') \Gamma(-j\Omega') = \frac{\varepsilon T_{\frac{n}{2}}^2(\Omega')}{1 + \varepsilon T_{\frac{n}{2}}^2(\Omega')}$$

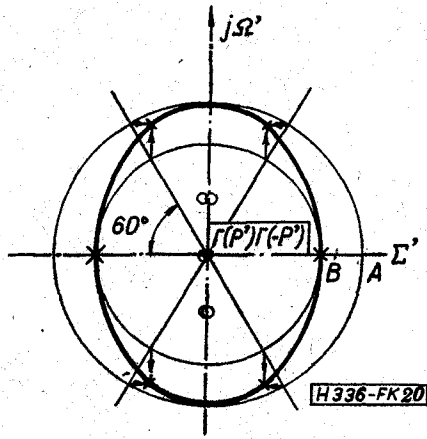
alapján  $n=4$  esetén:



18. ábra



19. ábra



20. ábra

A 18. ábrán látható a pólus- zérus kép.  $\Gamma(P') \cdot \Gamma(-P')$  pólusai grafikusan meghatározhatók (lásd 19. és 20. ábrát).

Az

$$1 + \varepsilon T_{\frac{n}{2}}^2(P') = 0$$

egyenlet gyökei egy ellipszisen helyezkednek el. Az ellipszis jellemzői:

$$A = \text{ch } s \text{ (nagy féltengely)}$$

$$B = \text{sh } s \text{ (kis féltengely)}$$

ahol

$$s = \frac{2}{n} \text{ arsh } \frac{1}{\sqrt{\varepsilon}}$$

$n=4$  esetét a 19. ábra tünteti fel.  
 $n=6$  esetét a 20. ábra tünteti fel.

$\Gamma(P') \Gamma(-P')$  zérusait

$$s \cdot T_{\frac{n}{2}}^2(\Omega') = 0$$

adja, tehát  $T_{\frac{n}{2}}(P')$  zérusai adják páros multiplicitással.

Az  $\frac{n}{2}$ -fokú Csebisev polinomok zérushelyei:

$$\Omega_a^{(k)} = \cos \frac{(2k+1)\pi}{n} \quad k=0, 1, \dots, \left(\frac{n}{2}-1\right)$$

értékeknél vannak.

$\Gamma(P') \Gamma(-P')$  zérusai az imaginárius tengelyen helyezkednek el. Miután ismert  $\Gamma(P') \Gamma(-P')$  póluszérus képe, meghatározható  $\Gamma(P')$ , ha kiválasztjuk a bal félsíkra eső gyököket, ill. az imaginárius tengelyre eső páros multiplicitású gyökökből egyet-egyét. Majd, hogy a sávszűrő specifikációnak megfelelő komplex feszültségi reflexiótényezőt megkapjuk, transzformálni kell ezeket a gyököket a cikkben ismertetett módon. A transzformáció során a konjugált komplex gyökpárokból gyöknégyesek lesznek. A transzformált gyökökből kiválasztjuk a megfelelő gyököket és meghatározzuk  $\Gamma(p)$ -t:

$$\Gamma(p) = k_s \frac{N'(p)}{U(p)}; \quad k_s = \sqrt{\frac{\varepsilon T_{\frac{n}{2}}^2(\omega \rightarrow \infty)}{1 + \varepsilon T_{\frac{n}{2}}^2(\omega \rightarrow \infty)}}$$

ahol

$$N(p) = k_s N'(p)$$

$n=4$  esetén:

$$k_s = \frac{\sqrt{s} (2A^2 - 1)}{\sqrt{1 + \varepsilon (2A^2 - 1)^2}}$$

$P(p)$ -ből meghatározható  $Z(p)$ , majd egységelem kiemeléssel a lépcsők hullámellenállásai a cikkben ismertetett módon.

Szám példa  $n=4$  esetére

$$R = 6$$

$$w = 0,8$$

$$n = 4$$

$$l = \frac{\lambda_m}{16}$$

$$\Theta_m = 360^\circ \frac{l}{\lambda_m} = \frac{360^\circ}{16} = 22,5^\circ$$

$$\Theta_b = \Theta_m \left( i + \frac{w}{2} \right) = 22,5^\circ \cdot 1,4 = 31,5^\circ$$

$$\Theta_a = \Theta_m \left( 1 - \frac{w}{2} \right) = 22,5^\circ \cdot 0,6 = 13,5^\circ$$

$$\text{tg } \Theta_b = 0,6128; \quad \text{tg}^2 \Theta_b = 0,3755$$

$$\text{tg } \Theta_a = 0,2401; \quad \text{tg}^2 \Theta_a = 0,0577$$

$$\omega_0^2 = \frac{\text{tg}^2 \Theta_b (1 + \text{tg}^2 \Theta_a) + \text{tg}^2 \Theta_a (1 + \text{tg}^2 \Theta_b)}{2 + \text{tg}^2 \Theta_a + \text{tg}^2 \Theta_b} = 0,1957$$



$$A = \frac{\operatorname{tg}^2 \Theta_0 + 1}{\operatorname{tg}^2 \Theta_0 - \operatorname{tg}^2 \Theta_0} = 7,65$$

$$A \cdot \omega_0^2 = 1,4971$$

$$\varepsilon = \frac{(R-1)^2}{4R\{2[A(-\omega_0^2)]^2 - 1\}^2} = 0,0859$$

$$\sqrt{\varepsilon} = 0,293; \quad \frac{1}{2\sqrt{\varepsilon}} = 1,71$$

$$P'_{b1,2,3,4} = \pm \sqrt{-\frac{1}{2} \pm j \frac{1}{2\sqrt{\varepsilon}}} = \pm \sqrt{-0,5 \pm j1,71} = \pm 0,8 \pm j1,07$$

Ezek közül azokat transzformáljuk, amelyekre  $\operatorname{Re} P'_b < 0$ :

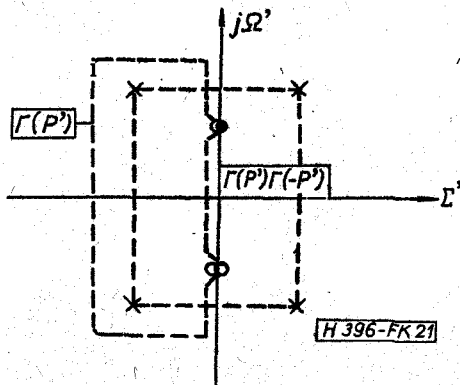
$$P'_{b1,2} = -0,8 \pm j1,07$$

Zérusok:

$$(2P'^2 + 1)^2 = 0$$

$$P'_{1,2}^{(2)} = \pm j \frac{\sqrt{2}}{2} \text{ [} P'_{1,2}^{(2)} \text{ kétszeres multiplicitásúak]}$$

Az aluláteresztőre vonatkozó pólus-zérus kép látható a 21. ábrán.



21. ábra

Tehát:

$$\Gamma(P') = \frac{\sqrt{\varepsilon} (2P'^2 + 1)}{(P' + P'_{b2})(P' + P'_{b1})} = \frac{0,293(2P'^2 + 1)}{P'^2 + 1,6P' + 1,785}$$

$$P'_{b1} \rightarrow p_{b1}; \bar{p}_{b1} \text{ : (transzformáció)}$$

$$p_{b1} = \sqrt{\frac{j\omega_0^2 A + P'_{b1}}{-jA + P'_{b2}}} = \sqrt{\frac{j1,497 - 0,8 + j1,07}{-j7,65 - 0,8 + j1,07}}$$

$$P'_{b1} \rightarrow p_{b1}; \bar{p}_{b1} = (-0,135 \pm j 0,625)$$

$$P'_{b2} \rightarrow p_{b2}; \bar{p}_{b2} \text{ (transzformáció)}$$

$$p_{b2} = \sqrt{\frac{j\omega_0^2 A + P'_{b2}}{-jA + P'_{b2}}} = \sqrt{\frac{j1,497 - 0,8 - j1,07}{-j7,65 - 0,8 - j1,07}}$$

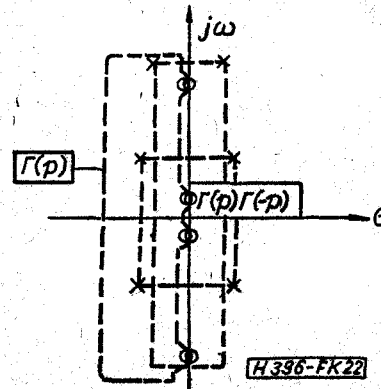
$$p_{b2}; \bar{p}_{b2} = -0,178 \pm j0,27$$

A zérusok:

$$p_{a1}; \bar{p}_{a1} = \pm \sqrt{\frac{j1,497 + j0,707}{-j7,65 + j0,707}} = \pm \sqrt{j0,319} = \pm j0,565$$

$$p_{a2}; \bar{p}_{a2} = \pm \sqrt{\frac{j1,497 - j0,707}{-j7,65 - j0,707}} = \pm j\sqrt{0,095}$$

A sávszűrőre vonatkozó pólus-zérus kép látható a 22. ábrán.



22. ábra

$$\Gamma(p) = k_s \frac{(p^2 + 0,095)}{[p - (-0,134 + j0,625)][p - (-0,134 - j0,625)]}$$

$$\frac{(p^2 + 0,319)}{[p - (-0,178 + j0,27)][p - (-0,178 - j0,27)]}$$

$$k_s = \frac{\sqrt{\varepsilon} (2A^2 - 1)}{\sqrt{1 + \varepsilon(2A^2 - 1)^2}} \cong 1$$

$$\Gamma(p) = \frac{p^4 + p^2 0,414 + 0,0303}{p^4 + 0,624p^3 + 0,608p^2 + 0,173p + 0,0427} =$$

$$= \frac{N(p)}{U(p)}$$

$$Z(p) = \frac{U(p) + N(p)}{U(p) - N(p)} =$$

$$= \frac{2p^4 + 0,624p^3 + 1,022p^2 + 0,173p + 0,073}{0,624p^3 + 0,194p^2 + 0,173p + 0,0124}$$

$$Z_{UE1} = Z(p)|_{p=1} = 3,89$$

$$Z_1(p) = Z_{UE1} \frac{pZ_{UE1} - Z(p)}{pZ(p) - Z_{UE1}} =$$

$$= \frac{1,63p^2 + 0,51p + 0,27}{2p^3 + 0,624p^2 + 0,6p + 0,042}$$

$$Z_{UE2} = Z_1(p)|_{p=1} = 0,738$$

I R O D A L O M

- [1] Matthei, G. L.: Short-Step Chebyshev Impedance Transformers. IEEE Vol. MTT-14. August 1966. pp. 372-383.
- [2] Dr. Csurgay Árpád - Markó Szilárd: Mikróhullámú passzív hálózatok. Mérnöki Továbbképző Intézet kiadványa.
- [3] Dr. Géher Károly: Lineáris hálózatok.